

59

Věta: Implicitní numerická metoda může (ale nemusí) být A stabilní, Explicitní numerická metoda není nikdy A stabilní!

Absolutní stabilita pro lineární  
vielekrokovou metodu

Uvažujeme (LVM)

$$u^{n+1} = \sum_{j=0}^p a_j u^{n-j} + h \sum_{j=-1}^p b_j f^{n-j},$$

kde  $f^{n-j} = \lambda u^{n-j}$

a uvažujeme řešení  $u^n = \xi^n$  maxima,  $f^n$

$$\xi^{n+1} = \sum_{j=0}^p a_j \xi^{n-j} + \underbrace{\lambda h}_{=z} \sum_{j=-1}^p b_j \xi^{n-j}$$

$$\underbrace{\xi^{p+1} - \sum_{j=0}^p a_j \xi^{p-j}}_{\rho(\xi)} - z \underbrace{\sum_{j=-1}^p b_j \xi^{p-j}}_{\sigma(\xi)} = 0$$

(60)

$$\underline{\pi(\xi, z) = p(\xi) - z \sigma(\xi) = 0}$$

→ Kořeny rovnice  $\pi(\xi, z) = 0$  tvoří bázi řešení.

Oblast absolutní stability (LVM) je množina všech  $z \in \mathbb{C}$ , pro které platí, že kořeny  $\xi_j$  rovnice  $\pi(\xi, z) = 0$  splňují podmínky:

1)  $|\xi_j| \leq 1$

2) je-li  $|\xi_j| = 1$ , pak je  $\xi_j$  jednoduchý kořen rovnice  $\pi(\xi, z) = 0$ .

Věta (Dahlquist)

1) Explicitní (LVM) ne může být A stabilní.

2) A stabilní (LVM) má rád nejvýše 2.

(61)

Poznámka

Pro určení oblasti absolutní stability (LVM) není možné postupně dosazovat všechna  $z \in \mathbb{C}$  do  $\Pi(\xi, z) = 0$  a počítat kořeny  $\xi$ . Namísto toho hledáme všechna  $z \in \mathbb{C}$ , která leží na hranici  $\Omega_a$  (tzv. Boundary locus method, viz LeVeque).

Na hranici  $\Omega_a$  platí pro alespoň jeden kořen  $\xi_j$  vlastnost  $|\xi_j| = 1$  tj.

$$\xi_j = e^{i\theta}, \quad \theta \in \langle 0; 2\pi \rangle \quad \text{kořen}$$

$\xi_j = e^{i\theta}$  dosadíme do rovnice

$$\Pi(\xi, z) = 0, \quad \text{tj.}$$

$$p(e^{i\theta}) - z \sigma(e^{i\theta}) = 0$$

$$z = \frac{p(e^{i\theta})}{\sigma(e^{i\theta})}, \quad \theta \in \langle 0; 2\pi \rangle$$

rovnice hranice  $\Omega_a$

62

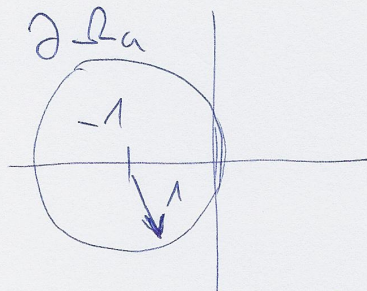
Pr: "Boundary locus method" pu  
Eulerovu metodu

$$u^{n+1} = u^n + h f_n$$

$$u^{n+1} - u^n = h f_n$$

$$\Rightarrow \rho(\xi) = \xi - 1 \quad \text{a} \quad \sigma(\xi) = 1$$

$$\Rightarrow \underline{z} = \frac{\rho(e^{i\theta})}{\sigma(e^{i\theta})} = \underline{e^{i\theta} - 1}$$



hranice  $\partial \Omega_a$  dělí komplexní rovinu  
na 2 části (vnitřní a vně kruhu).

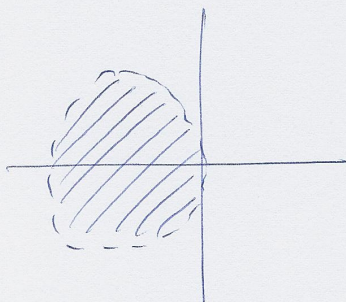
Pro určení, která část komplexní roviny je  
 $\Omega_a$  stačí dosadit vhodný bod  
např. z vnitřku kruhu (např.  $z = -1$ )

$$\mathbb{I}(\xi, z) = \rho(\xi) - z \sigma(\xi) = 0$$

$$\mathbb{I}(\xi, -1) = \rho(\xi) + \sigma(\xi) = \xi - 1 + 1 = 0 \Rightarrow \xi = 0$$

(63)

$\Rightarrow$  Sta je unitrehi kmitu  $\eta$



Pozn: Příkladý další oblasti viz LeVeque.

Pozn: Posouzení absolutní stability pro nelineární rovnici  $u'(t) = f(t, u)$ .

Uvažujeme  $u(t) = u_0 + v(t)$ ,  $t_j$   
po dosazení

$$(u_0 + v(t))' = f(t, u_0 + v(t))$$

$$v'(t) = f(t, u_0 + v(t))$$

linearizace: 
$$v'(t) = \underbrace{f(t, u_0)}_{\alpha} + \underbrace{\frac{\partial f}{\partial u}(t, u_0)}_{\lambda} v(t)$$

rovnice  $v'(t) = \lambda v(t) + \alpha$ ,  $\lambda, \alpha$  jsou konst.  
má analytické řešení  $v(t) = C \cdot e^{\lambda t} - \frac{\alpha}{\lambda}$

(64)

je pro absolutní stabilitu je důležitá  
hodnota  $\lambda \approx \frac{\partial f}{\partial u}(t, u_0)$ .

## Absolutní stabilita pro soustavu ODR

Uvažujeme soustavu  $n$  <sup>lineárních</sup> obyčejných diferen-  
ciálních rovnic 1. řádu ve tvaru

$$U' = A \cdot U$$

kde  $A$  je reálná matice typu  $n \times n$

a  $U = \begin{bmatrix} u_1(t) \\ u_2(t) \\ \vdots \\ u_n(t) \end{bmatrix}$  je vektor nezáporných.

Předpokládejme, že matici  $A$  lze zapsat  
jako

$$A = R \Lambda L, \text{ kde}$$

$R = \begin{bmatrix} | & | & & | \\ r_1 & r_2 & \dots & r_n \\ | & | & & | \end{bmatrix}$  je matice pravostřanných  
vlastních vektorů matice  $A$

(65)

$$\Lambda = \begin{bmatrix} \lambda_1 & 0 & 0 \\ 0 & \lambda_2 & 0 \\ 0 & & \ddots \\ & & & \lambda_n \end{bmatrix}$$

je diagonální matice  
vlastních čísel matice  $A$

$$L = \begin{bmatrix} \text{---} & l_1 & \text{---} \\ \text{---} & l_2 & \text{---} \\ & \vdots & \\ \text{---} & l_n & \text{---} \end{bmatrix}$$

je matice levostranných  
vlastních vektorů matice  $A$

kde

$$A r_i = \lambda_i r_i \quad i = 1, \dots, n$$
$$l_i A = \lambda_i l_i$$

Lze ukázat že platí

$$AR = R\Lambda$$

a

$$LA = \Lambda L$$

$$\Rightarrow A = R\Lambda R^{-1} = L^{-1}\Lambda L$$

$$\Rightarrow \underline{R^{-1} = L} \quad \text{neboli můžeme psát}$$

$$\underline{A = R\Lambda L}$$

(66)

zpět k soustavě

$$U' = AU$$

$$L \cdot | \quad U' = R \Lambda L U$$

$$L U' = \underbrace{L R}_{=E} \Lambda L U$$

$$(L U)' = \Lambda (L U)$$

Zavedeme substituci  $V = L U = \begin{bmatrix} v_1(t) \\ v_2(t) \\ \vdots \\ v_n(t) \end{bmatrix}$

již: 
$$\underline{V' = \Lambda V} \quad \text{je vlastní}$$

soustava n nezávislých rovnic

$$\underline{v_i'(t) = \lambda_i v_i(t), \quad i=1, \dots, n}$$

Pro absolutní stabilitu musíme volit krok metody  $h$  tak, aby všechna  $z_i = \lambda_i h$  pro  $\operatorname{Re}(\lambda_i) < 0$  ležela v oblasti absolutní stability použité metody. Zde již vidíme, že má smysl uvažovat  $\lambda$  komplexní (reálná matice

(67)

mité mit komplexní vlnou (dílky).

Pozn: Linearizace u soustavy nelineárních ODR

uvážejme soustavu ve tvaru

$$W'(t) = F(t, W(t)), \quad W(t_0) = W_0$$

$$\text{kde } W(t) = \begin{bmatrix} w_1(t) \\ w_2(t) \\ \vdots \\ w_n(t) \end{bmatrix}, \quad F = \begin{bmatrix} f_1(t, w_1, w_2, \dots, w_n) \\ f_2(\dots) \\ \vdots \\ f_n(\dots) \end{bmatrix}$$

použijeme substituci

$$W(t) = W_0 + U(t)$$

$$\text{tedy } U'(t) = F(t, W_0 + U(t))$$

po linearizaci

$$U'(t) = \underbrace{F(t, W_0)}_{=B} + \underbrace{\frac{\partial F}{\partial W}(t, W_0)}_{=A} \cdot U(t)$$

$$\underline{U'(t) = A U(t) + B}$$

68

Pr. Řešení CÚ

$$\varphi''(t) = -\alpha \sin \varphi(t), \quad \alpha = \frac{g}{L} > 0$$

$$\varphi(0) = 0, \quad \varphi'(0) = 1 \quad (\text{viz kvadrát na straně 1})$$

rovnici 2. řádku převedeme na soustavu 1. řádku

$$U' = F(t, U) \quad \text{kde}$$

$$U = \begin{bmatrix} u_1(t) \\ u_2(t) \end{bmatrix} = \begin{bmatrix} \varphi(t) \\ \varphi'(t) \end{bmatrix} \quad \text{a} \quad F = \begin{bmatrix} u_2(t) \\ -\alpha \sin u_1(t) \end{bmatrix}$$

Pro absolutní stabilitu budeme potřebovat

vlastní čísla matice

$$\frac{\partial F}{\partial U} = \begin{pmatrix} \frac{\partial f_1}{\partial u_1} & \frac{\partial f_1}{\partial u_2} \\ \frac{\partial f_2}{\partial u_1} & \frac{\partial f_2}{\partial u_2} \end{pmatrix} =$$

$$= \begin{pmatrix} 0 & 1 \\ -\alpha \cos u_1 & 0 \end{pmatrix}$$

vl. čísla  $\frac{\partial F}{\partial U}$ :

$$\begin{vmatrix} -\lambda & 1 \\ -\alpha \cos u_1 & -\lambda \end{vmatrix} = \lambda^2 + \alpha \cos u_1 = 0$$

$$\lambda^2 = -\alpha \cos u_1$$

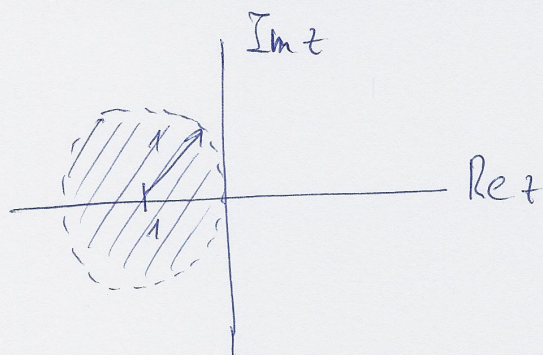
(69)

pro  $\cos u_1 \in (0, 1)$  je  $\lambda_{1,2} = \pm i\sqrt{2 \cos u_1}$

pro  $\cos u_1 \in (-1, 0)$  je  $\lambda_{1,2} = \pm \sqrt{-2 \cos u_1}$

Budeme uvažovat explicitní Eulerovu metodu  $U^{n+1} = U^n + h F_n$ , která

ma' oblast abs. stability



Pouze  $\lambda = -\sqrt{-2 \cos u_1}$  splňuje  $\operatorname{Re} \lambda < 0$ ,

Pro podmínku stability budeme uvažovat

"nejhorší" případ, tj.  $\cos u_1 = -1 \Rightarrow$

$\Rightarrow \lambda = -\sqrt{2}$  z oblasti abs. stability

Eulerovy metody vidíme, že

$$-2 < \lambda h < 0$$

$$-2 < -\sqrt{2} h < 0 \quad \left| \cdot \left(-\frac{1}{\sqrt{2}}\right) \right.$$

$$\underline{\underline{\frac{2}{\sqrt{2}} > h > 0}}$$

(70)

V souboru "lyvadlo.mus", který je možné spustit v programu Maple je realizován numerický výpočet Eulerových metodou pro

poč. p.  $u_1(0) = 1$

$$u_2(0) = 1$$

parametr  $L = 100$

počítá se řešení v čase  $t = 10$

interval pro  $t \in (0, 10)$  se dělí na  $n$  dílů  $\Rightarrow$  krok je  $\frac{10}{n}$ .

Jsou příložený výpočty pro

•  $n = 48 \rightarrow \text{krok} = 0,208 > \frac{2}{\sqrt{100}} = 0,2$   
 $= L$

$\rightarrow$  f: není splněna stabilita

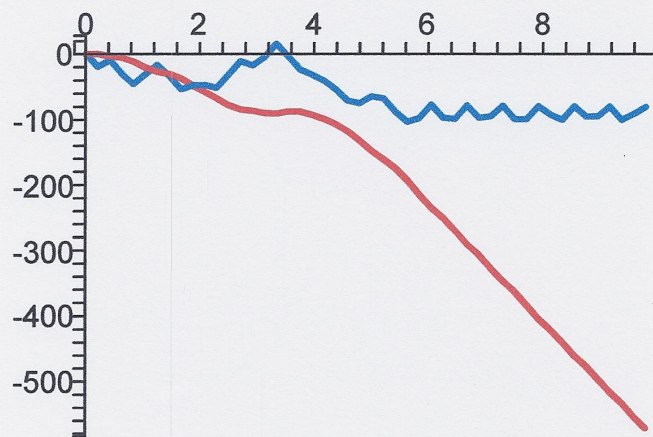
•  $n = 60 \rightarrow \text{krok} = 0,166 < 0,2$  již stabilní, ale malá přesnost  $\approx \text{konst.} \cdot 0,166$   
(f: chyba okolo 20% i více)

•  $n = 1000 \rightarrow \text{krok} = 0,01 < 0,2$  stabilní a "přesně" (chyba okolo 1%)

71

Kyvadlo . mcs

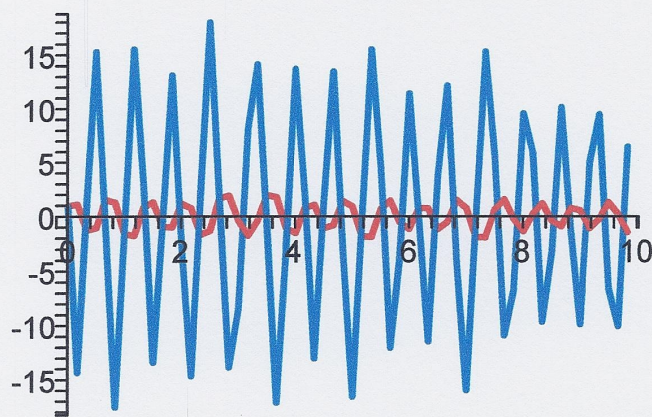
```
> restart:
> n:=48;dt:=10./n;alpha:=100;t:=0;
      n := 48
      dt := 0.2083333333
      alpha := 100
      t := 0
> y1:=1;y2:=1;
      y1 := 1
      y2 := 1
> y1num:=array(1..n):y2num:=array(1..n):
> y1num[1]:=0,y1:y2num[1]:=0,y2):
> for i from 2 to n do
> y1:=y1+dt*(y2):y2:=y2+dt*(-100*sin(y1)):
> t:=t+dt:
> y1num[i]:=t,y1:y2num[i]:=t,y2):
> end do:
> y1num:=convert(y1num,listlist):y2num:=convert(y2num,listlist):
> poloha:=pointplot(y1num,symbol=circle,style=line,symbolsize=12,thickness=2,color=red):
> rychlost:=pointplot(y2num,symbol=circle,style=line,symbolsize=12,thickness=2,color=blue):
> with(plots):
Warning, the name changecoords has been redefined
> display(poloha,rychlost);
```



72

kyvadlo.mws

```
> restart:
> n:=60;dt:=10./n;alpha:=100;t:=0;
      n:=60
      dt:=0.1666666667
      alpha:=100
      t:=0
> y1:=1;y2:=1;
      y1:=1
      y2:=1
> y1num:=array(1..n):y2num:=array(1..n):
> y1num[1]:=0,y1:y2num[1]:=0,y2):
> for i from 2 to n do
> y1:=y1+dt*(y2):y2:=y2+dt*(-100*sin(y1)):
> t:=t+dt:
> y1num[i]:=t,y1:y2num[i]:=t,y2):
> end do:
> y1num:=convert(y1num,listlist):y2num:=convert(y2num,listlist):
> poloha:=pointplot(y1num,symbol=circle,style=line,symbolsize=12,thickness=2,color=red):
> rychlost:=pointplot(y2num,symbol=circle,style=line,symbolsize=12,thickness=2,color=blue):
> with(plots):
Warning, the name changecoords has been redefined
> display(poloha,rychlost);
```

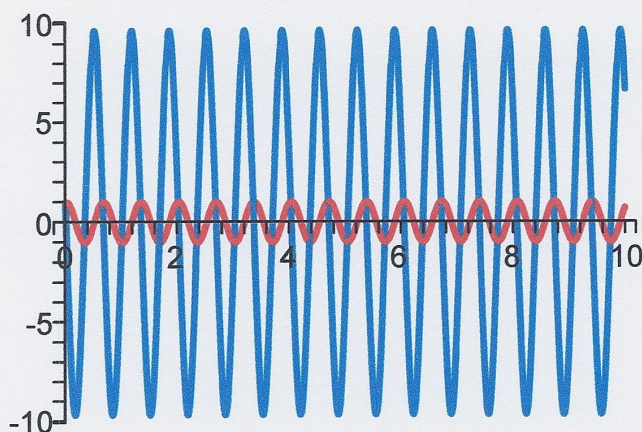


>

73

byradlo.mws

```
> restart:
> n:=1000;dt:=10./n;alpha:=100;t:=0;
      n := 1000
      dt := 0.010000000000
      alpha := 100
      t := 0
> y1:=1;y2:=1;
      y1 := 1
      y2 := 1
> y1num:=array(1..n):y2num:=array(1..n):
> y1num[1] := (0,y1):y2num[1] := (0,y2):
> for i from 2 to n do
> y1:=y1+dt*(y2):y2:=y2+dt*(-100*sin(y1)):
> t:=t+dt:
> y1num[i] := (t,y1):y2num[i] := (t,y2):
> end do:
> y1num:=convert(y1num,listlist):y2num:=convert(y2num,listlist):
> poloha:=pointplot(y1num,symbol=circle,style=line,symbolsize=12,thickness=2,color=red):
> rychlost:=pointplot(y2num,symbol=circle,style=line,symbolsize=12,thickness=2,color=blue):
> with(plots):
Warning, the name changecoords has been redefined
> display(poloha,rychlost);
```



>

74

## Poznámky k praktickému použití numerických metod

### Určení (časové) kroku metody:

1) požadujeme dodržení určité přesnosti výsledku po  $t=T$ , tj.  $|u^N - u^*(T)| < \varepsilon$ , kde  $N = \frac{T}{h}$ ,

$h$  je krok metody. Je-li metoda řádu  $p$ ,  
pak globální chyba po  $N$ -krocích je

$$N \cdot h^{p+1} \cdot \text{konst} = T \cdot \text{konst} h^p < \varepsilon$$

$\Rightarrow$  uvažujeme-li  $T h^p < \varepsilon$

$$h^p < \frac{\varepsilon}{T}$$

$$h < \sqrt[p]{\frac{\varepsilon}{T}}$$

2) dodržení podmínek stability

3) volit krok s ohledem na vhodnou

diskretizaci pravé strany tj. funkce  $f$

v rovnici  $u' = f$ .